

有 机 超 导 体

朱 道 本

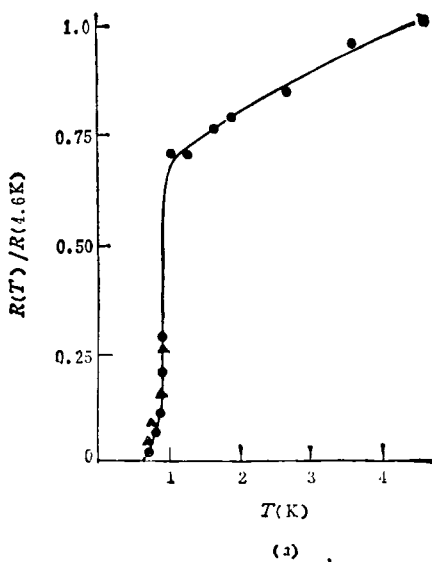
(中国科学院化学研究所)

有机化合物这类分子晶体能否具有超导电性，是多年来一直有所争论的问题。1980年世界上第一个有机超导体 $(TMTSF)_2 \cdot PF_6$ 的发现终于揭开了这个谜，引起了科学家们极大的兴趣。

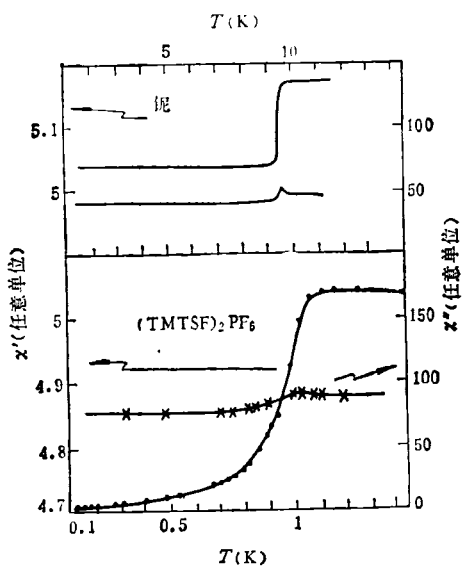
有机超导体的问世与七十年代发展起来的有机导体密切相关。在有机导体中，相同的平面型有机分子沿着某个方向相互平行堆砌成柱，柱中的 π 电子云强烈交叠，而相邻的柱间只有微弱的相互作用。这样的结构使它们与普通金属导体有着不同的导电性能，主要表现在 (i) 导电的强烈各向异性；(ii) 低温出现 Peierls-Fröhlich 型相变，金属态转化成绝缘体^[1,2]。因此，有机导体是一维金属电子理论所预言过的，一维导体不稳定性的第一个实际例子。不稳定性性质取决于分子柱中的电子相互作用，包括直接的库仑作用和以易极化分子的极化为媒介的间接的电子-电子相互作用。由于这种作用的存在，随着电荷密度波(CDW)或自旋密度波的(SDW)形成，一维电子气的基态是不稳定的。因此，如果能够设法抑制 CDW 或 SDW 就有可能出现超导态。正是基于这种考虑，人们从三个方面进行了尝试：(i) 改变有机分子的结构，增加多维性；(ii) 施加静压抑制金属态-绝缘体的相变；(iii) 晶体结构中引入微扰。引人注目的是，1976 年 Cooper 等人采用 10 kbar 静压能使 $TMTSF \cdot TCNQ$ 在 1K 温度下仍维持金属态。1980 年 Jerome 等人终于发现， $(TMTSF)_2 \cdot PF_6$ 在 12kbar 静压下在 0.9K 时出现了超导^[3]。

一、 $(TMTSF)_2 \cdot PF_6$ 的超导电性

大家知道，超导体有两个基本现象：从有



(a)



(b)

图 1(a) $(TMTSF)_2 \cdot PF_6$ 在 12kbar 下的零电阻状态；
图 1(b) 在 12kbar 下， $(TMTSF)_2 \cdot PF_6$ 的交流磁化率
和锡的交流磁化率的比较

限电阻状态(正常态)向零电阻状态(超导态)的过渡;外磁场不能穿透超导体内(迈斯纳效应)。此外,在临界温度(T_c)还会出现其它性质如比热、热电动势、霍耳效应和红外吸收等的突变。因此,可以通过在静压下临界温度、临界磁场、临界电流等来表征和确定超导体。图1(a)是($\text{TMTSF}_2 \cdot \text{PF}_6$)在12kbar下电阻-温度曲线。温度降到0.9K,电阻突然下降为零^[3],同时交流磁化率变成抗磁性[图1(b)]^[4]。此外,用超导量子干涉器(SQUID)进行迈斯纳效应的实验,以及热电动势和临界电流的测定,都确定了($\text{TMTSF}_2 \cdot \text{PF}_6$)的体超导性。用磁化率法测定($\text{TMTSF}_2 \cdot \text{PF}_6$)超导临界磁场,在垂直于TMTSF分子柱方向上略加外场,就出现了磁场穿透现象,下临界磁场 H_{c1}^\perp 低于地磁场,而外场达到约300Oe时,“混合”态结束,对应的“x”峰值是上临界磁场,见图2^[5]。因此,($\text{TMTSF}_2 \cdot \text{PF}_6$)是第II类超导体。

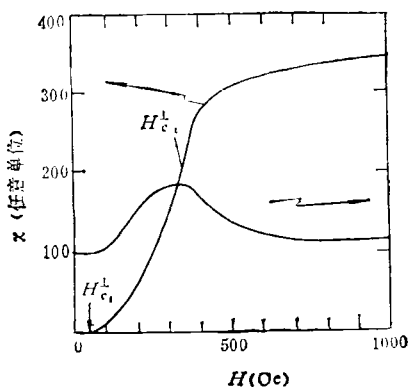


图2 ($\text{TMTSF}_2 \cdot \text{PF}_6$) 在 12kbar 下临界磁场的测定
($T = 160\text{mK}$)

($\text{TMTSF}_2 \cdot \text{PF}_6$)的超导电性显然是高压抑制了低温相变。在X光漫散射实验中,相变温度(T_{M-I})以上观察不到 $2K_F$ 的光散射,与一般电荷密度波引起的相变明显不同,而 ^{77}Se 核磁共振的线宽,在温度降到12K时加宽,到11K时信号就消失,同样氢质子核磁共振的线宽在金属态转向绝缘态的温度(T_{M-I})也有明显增加,唯一能解释此现象的是存在局部磁场^[6]。另外,单晶的磁化率测量也足以证明,在

T_{M-I} 以下是典型的反铁磁基态^[7]。以上实验结果都表明($\text{TMTSF}_2 \cdot \text{PF}_6$)的低温相变不是属于电荷密度波,而是属于自旋密度波引起的相变^[8]。

二、最近的进展

四年来有机超导体的研究已取得了很快的进展,除($\text{TMTSF}_2 \cdot \text{PF}_6$)以外,发现了九个有机超导体(见表1)。前七种属于($\text{TMTSF}_2 \cdot X$)分子晶体,后三种属于($\text{BEDT-TTF}_x \cdot X_y$)分子晶体。

经X线衍射结构分析,($\text{TMTSF}_2 \cdot X$)晶体都属于三斜晶系和空间群 $P\bar{1}$ 。按阴离子的对称性,有八面体对称、四面体对称和无对称性之分。 TMTSF 分子沿着 a 轴方向,以锯齿形和二单元组形式堆砌成柱,其对阴离子在柱的两侧孔隙中排列。无论柱内或柱间,各分子间的 $\text{Se}-\text{Se}$ 最小距离都小于范德瓦尔斯半径之和(0.4 Å),并且随着温度降低(298—125K), Se 原子间距不断减小,柱间减小是柱内减小的二倍^[9](表2)。根据结构上这些特征,就不难理解它们的电导、磁性能与温度的关系,同时为讨论超导的机制提供了一些论据。虽然阴离子对电子输运不会有直接的贡献,但在低温,有序-无序的变化会带来不同的电性能。它们间的关系,已由电导测量, ^{77}Se 和 ^1H 的核磁共振在不同降温速率下出现的“Q”态和“R”态的研究,以及X射线漫散实验所论证^[9,10]。图3是临界压

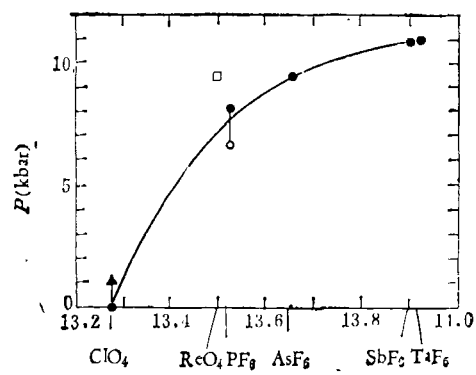


图 3

表 1

$\sigma_{RT} (\Omega \cdot \text{cm})^{-1}$	σ_{max}/σ_{RT}	$T_{M-1} (\text{K})$	$P_c (\text{kbar})$	$T_c (\text{K})$
(TMTSF) ₂ · PF ₆ 5×10^2	130—200	12—15	6.5	1.1 SDW
(TMTSF) ₂ · AsF ₆ 5×10^2	20—50	12—15	10	1.4 SDW
(TMTSF) ₂ · SbF ₆ 5×10^2	20—50	15—17	10	0.4 SDW
(TMTSF) ₂ · TaF ₆ 3×10^3		15	11	1.4 SDW
(TMTSF) ₂ · ClO ₄ 7.1×10^2	1.5			1.0—1.4 SDW, O-D
(TMTSF) ₂ · ReO ₄ 3×10^2	1.5	182	9.5	1.4 O-D
(BEDT-TTF) ₂ · (ReO ₄) ₂ $20—2 \times 10^2$		81	4	2
$\beta^*-(\text{BEDT-TTF})_2\text{I}_3$ 30				1.4—1.5
(BEDT-TTF) ₂ (I ₃) 2.5				2.5

* 1985 年 K. Murata 等人报道, 在 1.3 kbar 压力, 临界温度 T_c 高达 8 K.

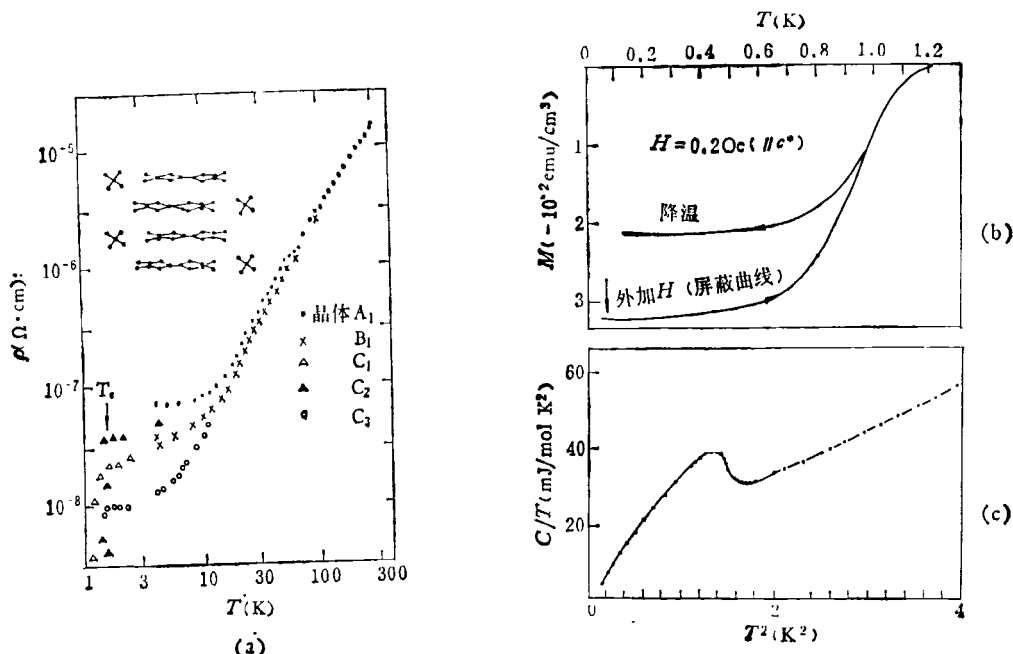


图 4 有机超导体 (TMTSF)₂ClO₄ 的电阻率与温度的关系、迈斯纳效应和 R 态的克分子比热
(左上方是结构模型示意图)

力 P_c 与室温常压下的晶胞参数 c (Å) 的关系^[11], 这又是从另一角度说明了结构对超导态影响的例子。

八面体对称的阴离子盐 (TMTSF)₂ · X (X 为 PF₆, AsF₆, SbF₆ 和 TaF₆) 的室温电导率 σ_{RT} 在 $10^2 (\Omega \cdot \text{cm})^{-1}$ 左右, 最大电导率 σ_{max} 与

表 2 (TMTSF)₂ · X 盐在 298 K 和 125 K 时柱内与柱间 Se 原子的平均间距 (\bar{d})

	298 K		125 K	
	\bar{d} (Å) 柱内	\bar{d} (Å) 柱间	\bar{d} (Å) 柱内	\bar{d} (Å) 柱间
(TMTSF) ₂ · PF ₆	4.005	3.938	3.927	3.799
(TMTSF) ₂ · AsF ₆	3.992	3.924	3.938	3.831
(TMTSF) ₂ · ClO ₄	3.992	3.866	3.932	3.754

室温电导率之比在 20—200 之间，在 12—18K 时发生金属-绝缘体相变。 PF_6 , TaF_6 , ASF_6 和 TaF_6 盐的相变，已由实验确认属于 SDW。在超过临界压力 P_c 和 1K 附近，SDW 不稳定性受到抑制，出现超导。 ClO_4 和 ReO_4 盐有较高的室温电导率，但 ReO_4 盐在 180K 就发生了相变。实验结果证明，阴离子无序是造成不稳定性的主要原因。当静压达到 9.5kbar，温度降到 1.4K 时，可观察到超导性。 $(\text{TMTSF})_2 \cdot \text{ClO}_4$ 的室温电导率为 $7.2 \times 10^2 (\Omega \cdot \text{cm})^{-1}$ ，其温度依赖关系见图 4。温度高于 25—15K 时，电阻率 ρ 与 T^2 成正比，而温度处于 $1.5K < T \lesssim T_c(25-15\text{K})$ 范围时， $\rho(T) = \rho_0(1 + \alpha T)$ ， $\rho_0 = 0.7 \times 10^{-6} (\Omega \cdot \text{cm})^{-1}$ ， $\alpha = 1\text{K}^{-1}$ ，温度降到 1.4K 时，出现超导^[12]。图 4 是电阻测量，交流磁场和比热实验所观察到的超导电性，它是最早发现的在常压下有超导性的有机分子晶体。 $(\text{TMTSF})_2 \cdot \text{FSO}_3$ 盐的阴离子是非对称性的，并有一定偶极矩。根据常压微波的电导测定，发现 86—90K 时有相变。在施加 5kbar 静压时，在 250—80K 温区内呈现金属性，但低于 80K 时，出现异常现象，即电阻随温度下降而增加，在 17K 时达到最大值，然后再重新缓慢降低，直至向超导态的转变^[13]。然而，热电动势测定表明，材料一直处于金属态，在进入超导态时，热电动势趋向于零。造成以上不同结论的原因还待进一步研究。当压力大于 5kbar 时，它的临界温度 $T_c > 2\text{K}$ ，是目前 T_c 较高的有机超导体。有人认为这是由于阴离子的偶极矩增强了电声子的相互作用，但目前还没有更多的实验根据。 $(\text{BEDT-TTF})_n \cdot X_m$ 是含硫的有机超导体，对压抑相变的条件不太苛刻。 $(\text{BEDT-TTF})_4 \cdot (\text{ReO}_4)_2$ 在 4kbar 和 2K 时就出现超导^[14]，而 $(\text{BEDT-TTF})_2 \cdot \text{I}_3$ 和 $(\text{BEDT-TTF})_2(\text{I}_3)_2$ 在常压下出现超导，临界温度分别为 $T_c = 1.4 \sim 1.5\text{K}$ 和 $T_c = 2.5\text{K}$ ^[15]。

四年来，科学家对有机超导体采用不同实验方法做了许多工作，归纳起来有三个方面：
(i) 超导电性的表征。
(ii) 经验规律和某些超导态特性。压力、磁场的依赖关系，缺陷和阴离

子序的效应，各向异性等问题。
(iii) 微观物理图象的实验，包括能隙，隧道效应，SDW 态与超导共存等问题。总之，有机超导体虽已取得了较大发展，但毕竟刚开始，有许多问题还待研究，关于一维超导涨落争论就是突出的例子。下面就此争论略加介绍，其它方面就不再赘述了。

三、关于一维超导涨落的争议

Jerome 等人认为 $(\text{TMTSF})_2 \cdot X$ 的 T_c 是三维超导的临界温度 T_c^{3d} ，而远高于 T_c^{3d} 的温区，还存在一维超导涨落现象^[15,16]，经计算， PF_6 盐的 T_c^{1d} 近于 40K，而 ClO_4 盐的 $T_c^{1d} \sim 60\text{K}$ ，因此，虽然迄今发现的有机超导体的临界温度很低，但在比已发现的无机超导体的临界温度以上，就可能有瞬时一维超导性存在。他们认为这种瞬时超导性的征兆，充分反映在 $(\text{TMTSF})_2 \cdot X$ 盐在高于 T_c^{3d} 温区内的电导性能上：(i) 40K 以下，沿堆砌方向的电导率超过 $10^4 (\Omega \cdot \text{cm})^{-1}$ ；4.2K 时，高达 $10^5 (\Omega \cdot \text{cm})^{-1}$ ，为其它有机导体的 10 倍，载流子密度 $10^{22}/\text{cm}^3$ ；

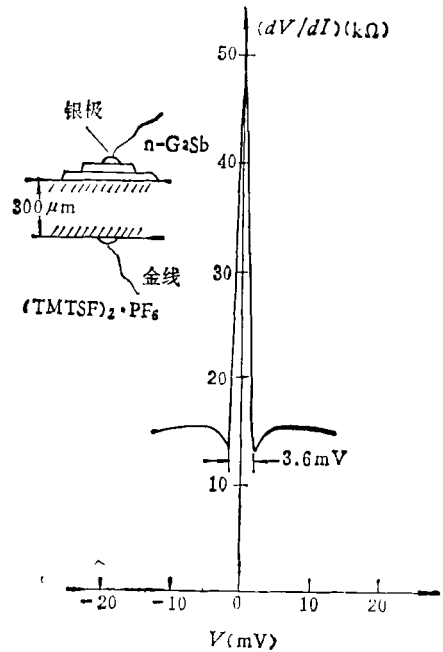


图 5 $(\text{TMTSF})_2 \cdot \text{PF}_6 \cdot (\text{n-GaSb})$ 在 $T = 0.0\text{K}$ 和 $P = 11\text{ kbar}$ 时的 dV/dI 特性

1.3K 时,迁移率为 $2 \times 10^3 \text{ cm}^2/\text{vs}$, 平均自由程高达 700 分子间距. (ii) 温度降到 50K 以下, 垂直于分子堆砌方向的电导率增加, 约为平行方向的三倍. (iii) 30K 以下, 在垂直于堆砌方向 c^* 上施加外磁场, 则沿堆砌方向的电导率受到很大影响, 但垂直于堆砌方向的另一方向 b^* 上加磁场, 则磁阻很小, 如平行方向上有外磁场, 几乎没有磁阻. 通过隧道效应实验, 测得 $(\text{TMTSF})_2 \cdot \text{PF}_6$ 的一维超导能隙 $2\Delta = 3.6 \text{ meV}$ 或 $\sim 41.8 \text{ K}$ (见图 5), 远高于目前的 T_c 值. ClO_4 盐在常压下 $2\Delta = 5.5 \text{ meV}$, 约为 63.8 K ^[16]. 此外, 隧道电流-电压特性以及零偏压隧道电流对外部微波辐射敏感的实验, 也被认为是超导涨落效应的证据. 但是, 有一些物理学家认为以上结论是不合理的, 因为根据临界磁场的 H_c 的实验结果, 这二种盐的 $2\Delta \sim 3.5 \text{ K}$. 另外, ^1H , ^{13}C 和 ^{77}Se 的核磁共振在 12-120K 范围内弛豫时间的测定^[17], 以及临界磁场各向异性等实验都证明, 在低温, $(\text{TMTSF})_2 \cdot X$ 并不是一维金属, 因此十分难以理解会有这么大的一维超导涨落现象. 同时, 热电动势各向异性实验中也存在许多不能理解的问题. 他们指出, $2\Delta \sim 40 \text{ K}$, 不是超导的能隙, 可能是 SDW 的能隙^[18]. 从理论上来讲, 当压力近于 P_c 时, SDW 态和超导共存是可能的, 但至今仍无直接实验的论据, 此问题还待今后的研究去解决.

四年 来有机超导体的研究已经得到很好的进展, 虽然目前所发现的有机超导体的临界温度很低, 但回顾一下从绝缘体到有机导体到有

机超导体发展的整个历史, 无疑仍然给人以充分的推动力去探索新的高温有机超导体. 我们对有机分子晶体电子性质的认识还在初创阶段, 无论从理论到实验, 在今后的研究中肯定会有进一步的发展.

本文承钱人元先生指导, 谨此致谢.

参 考 文 献

- [1] 钱人元, 化学通报, No.6 (1976), 33.
- [2] 朱道本, 物理, 11-7(1982), 415.
- [3] D. Jerome et al., *J. Phys. (Paris) Lett.*, 41(1980), L95.
- [4] M. Ribault, *J. Phys. (Paris) Lett.*, 41 (1980), L397.
- [5] D. Jerome, *Chem. Script.*, 17(1981), 13.
- [6] A. Andrieux et al., *J. Phys. (Paris) Lett.*, 42 (1981), L87.
- [7] K. Mortensen, *Phys. Rev. B*, 25(1982), 3319.
- [8] J. Friedel et al., *Contemp. Phys.*, 23(1982), 583.
- [9] M. A. Beno et al., *Solid State Commun.*, 44-8 (1982), 1195.
- [10] S. Tomic et al., Colloque International du CNRS sur la Physique et la Chimie des Metaux Synthetices et organiques, France, December, (1982).
- [11] S. S. P. Parkin et al., *Mol. Cryst. Liq. Cryst.*, 79 (1982), 249.
- [12] K. Bechgaard et al., *ibid.*, (1982), 271.
- [13] R. C. Lacoë et al., *Phys. Rev. B*, 27(1983), 1947.
- [14] S. S. P. Parkin et al., *Journal de Physique C*, 3 (1983), 791.
- [15] E. B. Yagubskii et al. International Conference on the Physics and Chemistry of Low-Dimensional Synthetic Metals, Italy, June, (1984).
- [16] D. Jerome, *J. Mag. Mag. Mat.*, 31-34 (1983), 20.
- [17] L. J. Azeved et al., see refer. [10].
- [18] P. M. Chaikin, see refer. [10].

敬 告 读 者

本期中有关《集成电路中的物理问题》专题的文章, 有史常忻写的《MOS 物理基础》和顾柏春写的《光

电子与俄歇电子在 X 射线光刻中的影响》二文。